

IPEN - Biblioteca Terezine Arantes Ferraz
 DISSERTAÇÕES e TESES inseridas no acervo - fevereiro, 2024
 Emitido em: 05/02/2024 às 13:16



T235.215:
 S235m
 Silva, Rubens Cavalcante da
 Modelagem da cinética do processo de deposição modificada de vapor químico (MCVD) para o controle do índice de refração em fibras ópticas de sílica para lasers de potência 2023

62p.



T535.215.2
 C268i
 Cardoso, Elbis Santos
 Investigação teórica de um laser de fibra óptica de sílica dopada com íons de itérbio de alta potência bombeado por diodos laser para aplicações industriais 2023

177p.



T535.215.2:
 R759s
 Romano, Fernando Carlos
 Simulação numérica e análise modal para diodos laser de listra simples e técnica experimental para medição de sua estrutura de modos transversais 2023

86p.



T535.25:
 M827i
 Moraes, Paulo Jorge Duda de
 Investigação teórica dos fenômenos da propagação atmosférica de feixes de laser de alta potência 2023

116p.



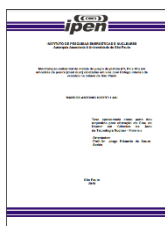
T539.125.5:
 F634c
 Flores, João Pedro de Oliveira
 Caracterização do espectro de nêutrons na posição de irradiação da estação pneumática do reator IEA-R1 para utilização do método k0-INAA 2023

112p.



T614-073
 S586c
 Silva, Ana Carolina Costa da
 2023

84p.



T614.7:
H821m
Hortellani, Marcos Antonio
Monitoração ambiental de metais do grupo da platina (Pt, Pd e Rh) em amostras de poeira (road dust) coletadas em vias com tráfego intenso de veículos na cidade de São Paulo 2019

151p.



T614.876:
C145d
Caldas Neto, Alvaro Brito
Desenvolvimento de estratégias para descomissionamento de reatores nucleares de pequeno porte no Brasil 2023

291p.



T620.17:
K94a
Krusche, Felipe Biermann
Aplicação de Inteligência Artificial na otimização e análise de incertezas em materiais compósitos laminados 2023

124p.



T620.1:
C198e
Campos, Ivan Douglas
Estudo de compósitos de poli (ácido lático) com celulose extraída da coroa do abacaxi 2022

71p.



T620.1:
C331o
Carvalho, Felipe Boross
Obtenção de sílica a partir de cinzas de resíduo de cana-de-açúcar por processo sol-gel e aplicação na remoção de corante 2023

80pp.



T620.1:
L732c
Lima, Daniele de Andrade Villarim
Caracterização de substrato e de biocarvão derivado de resíduo madeireiro 2023

62p.



T620.91:
P289s
Passos, Rubens de Oliveira
Simulação matemática e viabilidade técnica da instalação de sistemas solares flutuantes em reservatórios de hidrelétricas no Brasil 2023

142p.



T621.039.532.4
R672m
Rocha, Pedro Henrique do Nascimento
Modelo numérico para cálculo de Transitórios Hidráulicos com escoamento bifásico e Interação Fluido-Estrutura
2023



T621.039.53:
S729e
Souza, Felipe Viggiano de
Estudo da viabilidade da alteração da posição da câmara de fissão no reator IEA-R1
2023
133p.



T621.039.542.3
K75d
Kobayoshi, Marcelo
Desenvolvimento de equipamento para a medição automatizada de placas combustíveis através de sensores baseados em codificadores lineares por transmissão fotoelétrica
2023
265p.



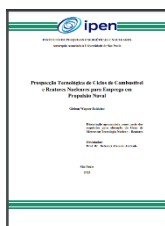
T621.039.54:
A627a
Antenor, João Paulo Mendes
Avaliação dos parâmetros de produção para otimização microestrutural de pastilhas de dióxido de urânio (UO₂)
2023
105p.



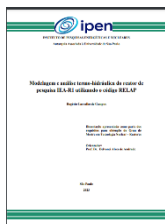
T621.039.54:
C198m
Campos, Josie Aguiã Alves de
Modelo numérico para cálculo de transitório hidráulico com separação de coluna e interação fluido-estrutura
2023
113p.



T621.039.54:
F177a
Falashi, Ronaldo de Held
Análise mecânica e dinâmica tridimensional de um compósito cilíndrico de fibra de carbono/epóxi em função do padrão de bobinamento
2023
111p.



T621.039.54:
B179p
Balduino, Gleison Wagner
Prospecção tecnológica de ciclos de combustível e reatores nucleares para emprego em propulsão naval
2023
155p.



T621.039.54:
C198mo
Campos, Rogério Carvalho de
Modelagem e análise termo-hidráulica do reator de pesquisa IEA-R1 utilizando o código RELAP
2023

114p.



T621.039.54:
M929a
Moura, Alceu José dos Santos
Avaliação da influência da subcamada viscosa na estabilidade mecânica de placas de elementos combustíveis em condições de escoamento axial por meio de simulações numéricas FSI
2023

62p



T621.039.54:
P896p
Prado, Adelk de Carvalho
Potência gerada por decaimento de produtos de fissão e de ativação em elementos de combustível irradiados no reator IEA-R1
2023

106p.



T621.039.54:
S237o
SANTOS, THIAGO AUGUSTO DOS
Otimização de parâmetros do núcleo do reator IEA-R1 utilizando o algoritmo de enxame de partículas
2023

115p.



T621.039.58:
G633d
Gomes, Jerônimo Moraes
Desenvolvimento do Programa da Garantia da Confiabilidade em uma planta nuclear brasileira subsidiado por um modelo de Confiabilidade, Disponibilidade e Manutenibilidade
2023

121p.



T621.039.7:
S729i
Souza, Wagner Stipp de
Internalização superficial de contaminantes após ablação laser nanossegundo
2023

77p.



T621.039.83:
F383e
Ferreira, Luana da Silva
Efeito da hipóxia na expressão de transportadores de zinco em linhagem de adenocarcinoma renal
2023

47p.



T621.039.83:
M338d
Marinho, Thayna Campeo
Desenvolvimento de rotas eletroquímicas para separação seletiva e de alto rendimento de iodo-131 para aplicação como radiofármaco
2023

97p.



T621.039.83:
S237c
Santos, Noemy Rodrigues
Caracterização espectroscópica de adenocarcinoma mamário cultivado em 3D submetido à radiação de baixa energia
2023

77p.



T621.318.2:
F224i
Faria, Marcela Enaile de Melo
Influência do disprosio nas propriedades magnéticas dos ímãs permanentes à base de NdFeB obtidos por HD
2023

112p.



T621.35:
B138b
Barbosa, Ingrid Ariani Belinel
Binder-free textile PAN-based electrodes for aqueous and glycerol-based electrochemical supercapacitors
2023

135p.



T621.35:
B238m
Barbosa, Andrey da Silva
Membranas de troca aniônica baseadas em polietileno aplicadas como eletrólito polimérico alcalino em dispositivos eletroquímicos
2023

172p.



T621.35:
V742d
Villardi, Bruno David Quiroz
Desenvolvimento de células a combustível abastecidas com extrato de cana-de-açúcar: uma opção para geração de energia com menor impacto ambiental
2023

120p.



T621.35:
Y83c
Yovanovich, Marcos
Conversão de metano em metanol em camada fina de difusão de gás utilizando fotocatalisadores porosos de WO₃/TiO₂
2023

102p.



T664.8.039.5
M386p
Martins, Regiane
Internalização superficial de contaminantes após ablação laser nanossegundo
2020

153p.



T669.782:
B269o
Barraviera, Guilherme de Castro
Obtenção e caracterização de nitreto de silício com microestrutura macroporosa para aplicação biomédica
2023

76p.



T669.782:
D357i
Dellamano, José Guilherme
Investigação de diferentes rotas de adição de nióbio ao TiFe, baseadas em moagem de alta energia, para armazenamento de hidrogênio
2020

83p.



T669.782:
O34s
Ogata, Jéssica Leal
Síntese e caracterização de nanopartículas de ouro ativo com albumina sérica bovina para fins biomédicos
2017

73p.



T902:
R484d
Ribeiro, Rogério Baria
Datação de sedimentos do terraço arenoso de São Vicente: correlação com a flutuação do mar no passado
2022

149p.

Total: 39